

СПИСОК ЛИТЕРАТУРЫ

1. Самсонов Г. В., Ковтун В. И. Механизм трения и изнашивания металлов // Физико-химическая механика материалов. — № 3. — 1975. — С. 38—41.
2. Оценка сопротивляемости схватыванию различных сплавов / Н. А. Буше, К. М. Раков, В. Я. Берент и др. // Вестник машиностроения. — № 4. — 1974. — С. 39—41.
3. Алгинов В. М., Марков А. А. К вопросу полуэмпирического определения поверхностной энергии твердых металлов и сплавов. Сб.: Поверхностные явления в расплавах. — Киев: Наукова думка, 1968. — С. 488.
4. Кунин Л. Л. Поверхностные явления в металлах. — М.: Металлургиздат, 1955. — 492 с.
5. Кашеев В. Н. Процессы в зоне фрикционного контакта металлов. — М.: Машиностроение, 1978. — 214 с.
6. Кипарисов С. С., Левинский Ю. В. Азотирование тугоплавких металлов. — М.: Металлургия, 1978. — 160 с.
7. Бокштейн Б. С. Диффузия в металлах. — М.: Металлургия, 1978. — 248 с.
8. Kovalev A. P. Кинетика и основные закономерности газонасыщения титановых сплавов / Научные труды МАТИ им. К. Э. Циолковского. — Вып. 4 (76). — М.: Изд-во «ЛАТМЭС», 2001. — С. 335—339.

620.10

**ТЕМПЕРАТУРА В КОНТАКТНОЙ ЗОНЕ ПРИ ОБРАБОТКЕ
ДЕТАЛЕЙ ПОВЕРХНОСТНЫМ ПЛАСТИЧЕСКИМ
ДЕФОРМИРОВАНИЕМ**

Канд. техн. наук Я.Н. ОТЕНИЙ

Рассматривается влияние всех составляющих, определяющих изменение температур в контактной зоне при пластическом деформировании.

Решается задача учета таких составляющих.

Question of Influence of all components defining modification of temperatures in a contact zone at plastic deforming is examined.

The problem of counting all these components is solved.

Тепловые процессы при обработке деталей поверхностным пластическим деформированием (ППД) роликами могут существенно повлиять на качество поверхностного слоя. Однако это будет происходить тогда, когда тепловое воздействие на контакт между роликом и деталью превысит определенный предел, при котором начнут возникать фазовые и структурные изменения в поверхностном слое. Существуют различные мнения о значениях температур, возникающих в контактной зоне при обработке ППД. Температура зависит от многих факторов: усилия деформирования, формы и размеров контактной зоны, скорости деформирования, проскальзывания, формы и размеров деформирующих роликов, характера и количества подводимой смазывающе-охлаждающей технологической среды. Учет всех составляющих на температуру в контактной зоне представляет собой сложную математическую задачу. Одним из путей ее решения является установление мощности тепловыделения через кинематику точек деформируемой поверхности с последующей связью кинематики с деформациями и напряжениями в контакте.

Будем предполагать, что: контактная зона представляет собой полосовой источник с геометрическими размерами, равными произведению полуширины контакта z_k на длину контактной зоны L_k ; почти вся расходуемая при упруго-пластическом деформирова-

ни мощность превращается в тепло; поверхность детали является адиабатической, т. е. все тепло распространяется в тело детали. При этих предположениях, очевидно, достигается максимально возможная температура на площади контакта. При тепловых расчетах будем использовать положения метода источников теплоты, приведенные в [1]. Количество теплоты, выделяемое в контактной зоне в единицу времени, можно разложить на две составляющие

$$Q_k = Q_{kd} + Q_{tp}, \quad (1)$$

где Q_{kd} — теплота, выделяемая при деформировании поверхности детали; Q_{tp} — теплота, выделяемая при проскальзывании ролика.

Количество тепла при пластическом деформировании (первая составляющая в формуле (1)) численно равно мощности, затрачиваемой на деформирование. Представим мощность деформирования элементарного участка поверхности контакта в виде

$$dQ_{kd} = v_i \sigma_i dS, \quad (2)$$

где v_i — скорость перемещения элементарной площадки dS в пределах контакта; σ_i — напряжение, действующее на этой площадке. Определим сомножители в (2).

Выберем на поверхности контакта точку M в произвольном сечении, перпендикулярном оси деформирующего ролика и расположенному в пределах контакта (рис. 1). Проведем в эту точку радиусы-векторы r_p и ρ_d , выходящие из центров сечения деформирующего ролика и детали.

На основе этой схемы приращение радиуса-вектора ρ_d при качении ролика по поверхности детали получено в виде

$$\Delta \rho_d = R_d - \sqrt{(R_d + r_p - h_p)^2 + r_p^2} - 2(R_d + r_p - h_p)r_p \cos \varphi_p, \quad (3)$$

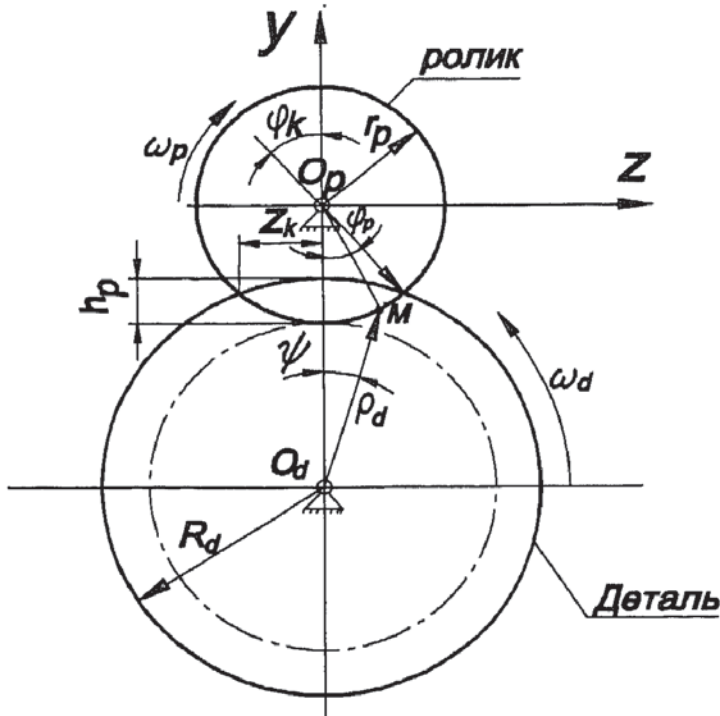


Рис.1. Схема для определения кинематики точек деформируемой поверхности без учета проскальзывания

где R_d — радиус обрабатываемой детали; r_p — радиус деформирующего ролика; h_p — глубина внедрения ролика в поверхность детали; φ_p — изменение угла контакта по его полуширине.

$$\cos \varphi_p = \sqrt{1 - \left(\frac{z_k - z}{r_p} \right)^2}; (0 = \varphi_p = \varphi_k), \quad (4)$$

где φ_k — максимальный угол контакта.

Относительная деформация радиуса-вектора ρ_d равна первой производной от текущей координаты полуширины контакта z

$$\varepsilon_i = \frac{D(z_k - z)}{\rho_d r_p \sqrt{1 - \left(\frac{z_k - z}{r_p} \right)^2}}, \quad (5)$$

где принято обозначение $D = R_d + r_p - h_p$. Скорость перемещения той же площадки в зависимости от угла ω_p равна

$$v_i = \frac{\omega_p D(z_k - z) z}{\rho_d}, \quad (6)$$

где ω_p — угловая скорость вращения ролика.

Связь деформаций с напряжениями во многих случаях определяют из кривой упрочнения в виде [2, 3]

$$\sigma_i = A \varepsilon_i^m, \quad (7)$$

где A и m — постоянные коэффициенты, зависящие от механических свойств обрабатываемого материала.

Выбрав на кривой упрочнения три точки, которые соответствуют началу координат, пределу текучести и пределу временного сопротивления обрабатываемого металла, численные значения которых известны из экспериментальных данных, можно составить систему из двух уравнений

$$\sigma_T = A \varepsilon_T^m \quad (8)$$

$$\sigma_B = A \varepsilon_B^m \quad (9)$$

где σ_T , σ_B , ε_T , ε_B — предел текучести, предел временного сопротивления, а также деформации, соответствующие пределу текучести и пределу временного сопротивления.

Совместное решение этих уравнений позволяет найти постоянные коэффициенты в (6)

$$m = \frac{\ln \left(\frac{\sigma_T}{\sigma_B} \right)}{\ln \left(\frac{\varepsilon_T}{\varepsilon_B} \right)}; A = E \varepsilon_T^{1-m}. \quad (10)$$

Количество тепла, выделяемое в единицу времени, при поверхностном деформировании детали цилиндрическим роликом будет равна

$$Q_{kd} = A\omega_p L_k \int_0^{z_k} \left[\frac{D(z_k - z)}{\rho_d r_p \sqrt{1 - \left(\frac{z_k - z}{r_p} \right)^2}} \right] \frac{D(z_k - z)}{r_p} dz. \quad (11)$$

Полученное значение количества теплоты распределяется на части площади поверхности детали, равной длине пути проходимой роликом в единицу времени, умноженной на длину контакта

$$S_p = v_p L_k = \omega_p r_p L_k, \quad (12)$$

где v_p — скорость качения ролика по детали.

Количество контактов, которые могут быть размещены на этой площади, равно

$$n_k = \frac{v_p}{z_k} = \frac{\omega_p r_p}{z_k}. \quad (13)$$

Следовательно, количество теплоты, приходящееся на площадь, занимаемую одним контактом, составит

$$Q_{k1} = \frac{Q_{kd}}{n_k} = \frac{Q_{kd} z_k}{\omega_p r_p}. \quad (14)$$

Удельное тепловыделение в контакте с учетом предыдущих формул будет равно

$$q_{k1} = \frac{Q_{k1}}{S_k t_k} = \frac{Q_{kd}}{S_k}, \quad (15)$$

где t_k — время прохождения роликом ширины контакта; S_k — площадь контакта, равная произведению длины контакта на его полуширину.

При обработке деталей накатыванием роликами источник тепловыделения является быстродвижущимся, оценку этого факта проводят с помощью безразмерного критерия Пекле

$$Pe = \frac{v_p z_k}{\omega_\Theta}, \quad (16)$$

где ω_Θ — коэффициент температуропроводности материала, по которому перемещается источник. Если $Pe \geq 10$, то источник относят к быстродвижущимся [1]. Расчеты показывают, что коэффициент Пекле при обработке ППД находится в пределах 400...750.

Вследствие высокой скорости движения время соприкосновения источника с элементом поверхности, равным ширине контакта, столь мало, что во всех точках контакта температуру можно считать одинаковой, а источник — двумерным мгновенным и полосовым. Поэтому с учетом приведенных выше формул максимальное значение температуры в площади контакта можно вычислить по формуле [1].

$$\Theta = \frac{z_k q_{k1}}{\lambda \sqrt{\pi} \sqrt{\text{Pe}}} , \quad (17)$$

где λ — коэффициент теплопроводности обрабатываемого металла.

Из графиков (рис. 2), построенных на основе расчетов с помощью ПЭВМ, видно, что температура повышается с увеличением скорости перемещения ролика. Температура также зависит от радиуса деформирующего ролика: меньшему значению радиуса ролика соответствует меньшее количество тепла, выделяемого в контактной зоне при одной и той же глубине внедрения ролика. Это объясняется тем, что одновременно уменьшается усилие деформирования и площадь контакта при одной и той же глубине внедрения ролика в поверхность детали, соответственно уменьшается и удельное количество теплоты, приходящейся на единичный контакт.

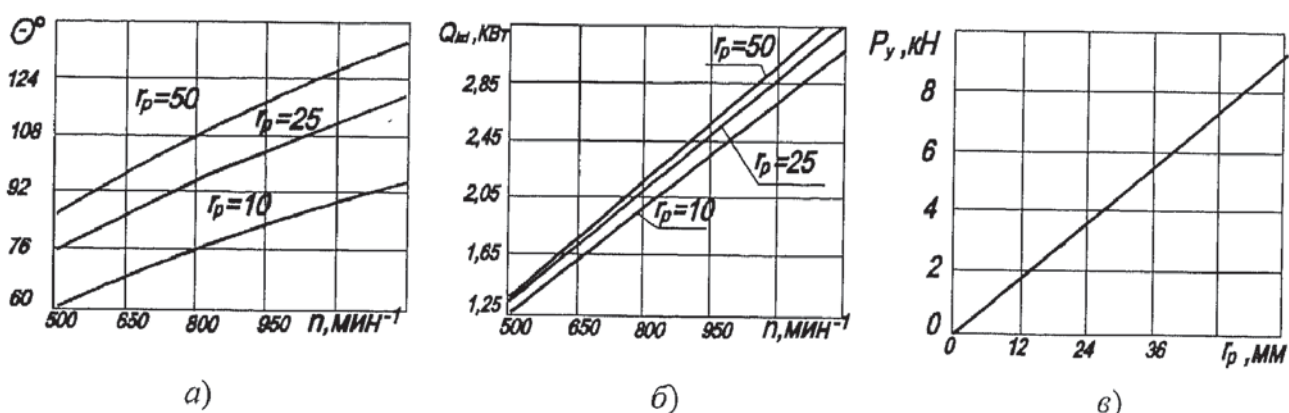


Рис. 2. Температура на поверхности контакта между деформирующим роликом и обрабатываемой поверхностью (а) (в зависимости от частоты вращения ролика), мощность тепловыделения в зависимости от частоты вращения ролика (б), усилие деформирования от радиуса ролика (с), $h_p = 0,25$ мм; $L_k = 10$ мм

Максимальное значение температуры при рассмотренных условиях деформирования не превышает 130 °С. Это ниже критического уровня температуры, при котором могут происходить существенные изменения в поверхностном слое детали. Кроме того, в процессе обработки применяют интенсивное охлаждение.

Вторую составляющую в уравнении определить значительно сложнее, так как до настоящего времени не установлены закономерности формирования проскальзывания ролика.

СПИСОК ЛИТЕРАТУРЫ

1. Резников А. Н., Резников Л. А. Тепловые процессы в технологических системах. — М.: Машиностроение, 1990. — 288 с.
2. Смелянский В. М. Механика упрочнения деталей поверхностным пластическим деформированием. — М.: Машиностроение, 2002. — С. 299.
3. Кроха В. А. Упрочнение металлов при холодной пластической деформации: Справочник. — М.: Машиностроение, 1980. — 157 с.